

SERE BROVASKÜLER HASTALIKLarda SERUM NÖRON SPESİFİK ENOLAZ (NSE) DEĞERLERİ*

Kürşad KUTLUK*, Meral FADILOĞLU**, Birsen ÇELİK*, Pınar AKAN**,
Murat ÖRMEN**, Handan ÇAKMAKÇI***

D.E.Ü. Tıp Fakültesi Nöroloji Anabilim Dalı*
D.E.Ü. Tıp Fakültesi Biyokimya Anabilim Dalı**
D.E.Ü. Tıp Fakültesi Radyoloji Anabilim Dalı***

ÖZET

Serebrovasküler hastalık geçiren olgularda radyolojik olarak saptanmış serebral lezyonun biyokimyasal boyutunu yansıtabileceği düşünüseyle noninvasiv bir test olan serum nöron spesifik enolaz (NSE) konsantrasyonlarının ilk 4 gün içindeki seri analizleri yapıldı. İskemik 14, hemorajik 6 olmak üzere 20 akut strok olgusu (12 erkek, 8 kadın) ve kontrol grubu olarak da myokard infarktüslü 7 olgu (7 erkek) seçildi. Serebral lezyonların radyolojik olarak volum ölçümü yapıldı. Sonuçta strok grubu ile kontrol grubu karşılaştırıldığında maksimum NSE değerleri strok grubunda anlamlı derecede yüksek bulundu. Serebral lezyon volumü ile maksimum NSE konsantrasyonları arasındaki ilişki de anlamlıydı (Spearman sıra korelasyon testi, $P < 0.05$). NSE'ın strok hastalarında nöronal hasarı yansıtan bir belirleyici olarak kullanılabileceği, ancak rutin tetkikler içme girebilmesi için daha geniş serilerle çalışılmış, kapsamlı tartışmaların yapılması gerektiği düşüm esine varıldı.

Anahtar sözcükler: Serebrovasküler hastalık, nöron spesifik enolaz, nöronal marker.

Nöron spesifik enolaz (NSE) glikolitik bir enzim olan enolazın izoenzimidir. NSE bir majör nöronal proteindir ve total solubl beyin proteinlerinin yaklaşık % 1.5'ini oluşturur. Nöronal hasarda membran geçirgenliğindeki değişiklikler, NSE'nin sitozolden ekstrasellüler alana geçmesini sağlar. NSE, nöronal hücrelere sınırlı olmayıp, nöroendokrin hücrelerde de yer

SUMMARY

Serum neuron specific enolase (NSE) assessments have been done in 20 stroke patients (12 male, 8 female) as it might reflect the biochemical extension of the radiological lesion. Seven patients (7 male) with myocardial infarction were taken into the study as control group. Radiological measurements of cerebral lesions were performed in all stroke patients. NSE levels were significantly high in stroke patients. The correlation between lesion volumes and NSE concentrations was also significant. NSE can be used as a marker to predict the neuronal damage but further investigation in larger series is necessary to accept this noninvasive test as a routine procedure in stroke patients.

Key words: Stroke, neuron specific enolase, neuronal marker.

alır ve nöroendokrin tümörlerin belirleyicisi olarak tanımlanmıştır (1). Serebral infarkt, kafa travması, beyin tümörü ve santral sinir sisteminin infeksiyon hastalıklarında beyin omurilik sıvısında (BOS) artmış NSE düzeyleri bildirilmiştir (2,4).

Nöron yıkım derecesini anlamak amacıyla yapılan çalışmaların çoğunda, NSE'nin BOS

* Bu çalışma 31. Ulusal Nöroloji (24-28 Eylül 1995 Kapadokya) ve 13. Ulusal Biyokimya (26-30 Mart 1996 Antalya) Kongrelerinde sunulmuştur.

düzeyleri ölçülmüştür. Ancak cerebrovasküler olayın ardından BOS incelemesi hem invaziv bir yöntemdir, hem de risk taşımaktadır. Bu çalışmada ise noninvaziv bir yöntem olan serum NSE düzey ölçütleri yapılmış ve NSE değerleri ile serebral lezyon volümü arasındaki ilişki araştırılmıştır.

GEREÇ ve YÖNTEM

Dokuz Eylül Üniversitesi Tıp Fakültesi Nöroloji Kliniği'ne akut strok tanısı ile gelen 20 olgu ve myokard infarktüsü nedeniyle koroner yoğun bakımda izlenen 7 olgu çalışmaya alındı. Serebral infarktlı 14 olgunun yaş ortalaması 67 (53-78 yaş), intraserebral hemorajili 6 olgunun yaş ortalaması 66.8 (57-79 yaş), myokard infarktüslü 7 olgunun yaş ortalaması ise 51.7 (40-53 yaş) olarak saptandı. Stroklu tüm olgularda 24, 48, 72 ve 96 saatlerde serum örneklerinde NSE düzeyleri ölçüldü. Hemolizli kan örnekleri çalışmaya alınmadı. Standardizasyonu sağlamak ve aynı koşulda çalışmak üzere serumlar derin dondurucuda -70 °C'de saklandı. Roche firmasının NSE kiti ile EIA (enzim immuno assay) yöntemi ile çalışıldı ve aynı firmmanın Cobas Core fotometresinde 450 nm'de okunarak standart ve kontrollerin varlığında değerlendirildi. Kontrol grubu olarak seçilen 7 myokard infarktüs olgusunda da serum NSE düzeyleri, aynı yöntemle ölçüldü.

Strok olgularının tümünde beyin tomografisi (BT) ve gerekli bazı olgularda da ek olarak manyetik rezonans görüntüleme (MRG) yapıldı. Reversibl iskemik nörolojik defisiti olan 2 olgu çalışmadan çıkarıldı. Olguların tamamının

nörolojik değerlendirmeleri yaptılarak Glasgow koma skorları (GKS), yataş ve çıkıştaki Barthel skorları, BT ve MRG bulguları ile risk faktörleri belirlenip değerlendirildi. Büttün olgularda, ilk 3 gün içinde yapılmış olan görüntüleme yöntemlerinden lezyon volümü Pasqualin yöntemi ile ölçüldü [$a \times b \times c \times 0.52$ formülünde a= lezyonun eni, b= lezyonun boyu, c= lezyonun yüksekliği] (5). İstatistik hesaplamalar Spearman Sıra Korelasyon Testi ile yapıldı.

BULGULAR

Çalışmaya alınan olguların demografik özellikleri Tablo I'de sunulmuştur. Myokard infarktüsü ve serebral infarktin benzer fizyopatolojik ve tedavi özelliklerini içermesi nedeniyle kontrol grubu olarak myokard infarktüslü olgular seçilmiştir. Çalışmaya alınan tüm olguların yaş, cinsiyet, BT volüm değerleri, Glasgow koma skorları, hastaneye yataş ve çıkıştaki Barthel skorları, maksimum ve ortalama NSE değerleri, lezyon lokalizasyonları ve ayrıca myokard infarktüslü olguların maksimum kreatin kinaz (CK) değerleri Tablo II'de gösterilmiştir. NSE için, normal değerlerin % 95'i 13.2 ng/ml'nin altında olup ortalama değer 8.5 ng/ml olarak saptanmıştır. Serebral infarktı olan 3 olgu, klinik izlemede eksitus olmuştur (olgu no: 2, 14, 16) ve bu olgulardaki NSE maksimum değerleri sırasıyla: 71.62, 39.15 ve 55.06 ng/ml bulunmuştur.

Strok olgularının maksimum NSE değerleri belliğin olarak yüksek bulunmuştur. Kontrol grubu ile strok grubu karşılaştırıldığında kontrol grubunun maksimum NSE değerlerinin de

nörmalden yüksek, fakat strok grubunun değerlerinden anlamlı derecede düşük olduğu görülmüştür ($P < 0.05$). Bütün strok olgularının lezyon volumleriyle NSE düzeyleri arasındaki ilişki, 48. ve 72. saatlerdeki NSE ölçümlerinde anlamlı bulunurken (Şekil 1,2), 24. ve 96. saatlerde anlamlı bir korelasyon bulunmamıştır. Infarkt ve hematom olguları kendi aralarında ayırdıklarında, yine NSE düzeyi ile lezyon

volumu arasındaki ilişki anlamlı bulunmuştur (Şekil 3,4). Kontrol grubunun verileri Şekil 5'dedir.

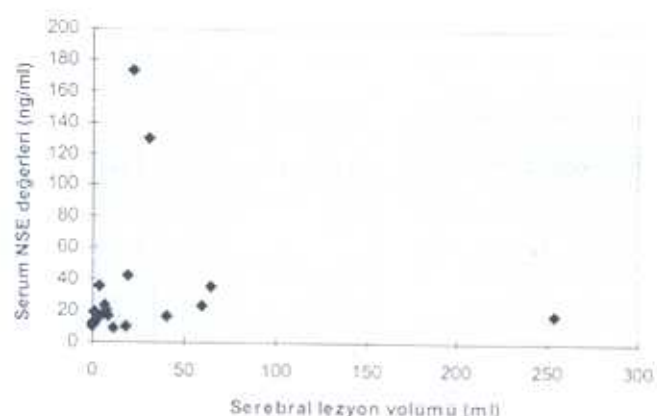
Tablo I. Hastaların demografik özellikleri

Tanı	Oluş sayıları	Cinsiyet Kadın	Erkek	Yaş Ortalama	Aralık
Serebral infarkt	14	6	8	67	53-78
Intracerebral hemorajji	6	2	4	66.83	57-79
Myokard infarktüsü	7	-	7	51.71	40-53

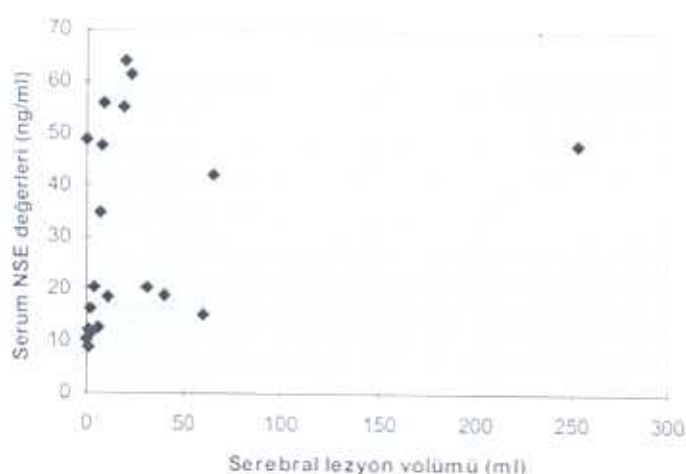
Tablo II: Maksimum ve ortalama NSE değerleri, tanı, Glasgow Koma Skorları, Barthel Skorları ve diğer klinik veriler

Oluş No	Cinsiyet yılı	Tanı	BT vol. (ml)	GKS	Barthel Giriş	Barthel Çıkış	Maks/ort NSE	Lokalizasyon	Maks CK
1	E/78	BI	0,26	14	55	90	13.08/11.41	Sağ internal kapsül	-
2	K/65	BI	64,9	11	30	0(ex)	71.62/41.83	Sol temporoparyetal	-
3	E/69	BI	253,35	15	30	75	57.62/43.14	Sağ oksipital,bazal ganglion	-
4	K/69	ISH	5,63	10	100	100	37.35/19.99	Sol temporoparyetal	-
5	E/72	BI	59,9	11	40	70	22.95/16.06	Sol temporo-parveto-oksiptal	-
6	E/54	ISH	0,78	15	80	90	20.79/12.35	Sağ mezencefalon	-
7	K/69	BI	9.152	15	45	80	56.08/29.05	Sağ superiyor temporal	-
8	E/57	ISH	1.373	10	40	60	46.24/73	Sol posteriyor pons	-
9	K/66	BI	22,56	10	35	55	172.7/84.93	Sol temporoparyetal	-
10	K/70	ISH	31,2	13	55	75	129.2/48.3	Sağ temporoparyetal	-
11	K/75	BI	40,3	15	65	75	28.65/21.04	Sağ oksipito-temporal	-
12	K/75	BI	11,23	11	65	75	23.78/15.75	Sağ parietal, Broca alanı	-
13	E/70	BI	1.87	15	80	60	18.5/16.93	Sağ korona radiata	-
14	E/55	BI	6,55	6	10	0(ex)	39.15/29.51	Sol cerebellar,bilateral mezencefalon	-
15	E/72	ISH	1,6	15	60	90	13.35/11.93	Sağ internal kapsül, pons	-
16	E/53	BI	18,72	8	15	0(ex)	55.06/27.37	Sol cerebellar	-
17	E/66	BI	19,46	15	85	100	82.28/60.29	Sağ temporoparyetal	-
18	E/62	BI	0,37	15	100	100	48.9/26.72	Sol internal kapsül	-
19	K/63	BI	7,67	13	85	100	47.8/33.02	Sol korona radiata	-
20	E/79	ISH	3,74	11	20	45	35.3/25.17	Sağ talamus	-
21	E/73	MI	-	-	-	-	16.54/15.46	Bilinmiyor	547
22	E/36	MI	-	-	-	-	17.79/11.05	Anterior	857
23	E/53	MI	-	-	-	-	25.18/14.83	Anterolateral	1269
24	E/48	MI	-	-	-	-	59.49/27.22	Inferior-posterior	2089
25	E/48	MI	-	-	-	-	14.75/13.66	Anterior	962
26	E/40	MI	-	-	-	-	20.38/17.01	Anterolateral	3550
27	E/64	MI	-	-	-	-	30.95/20.81	Anterosentral	1159

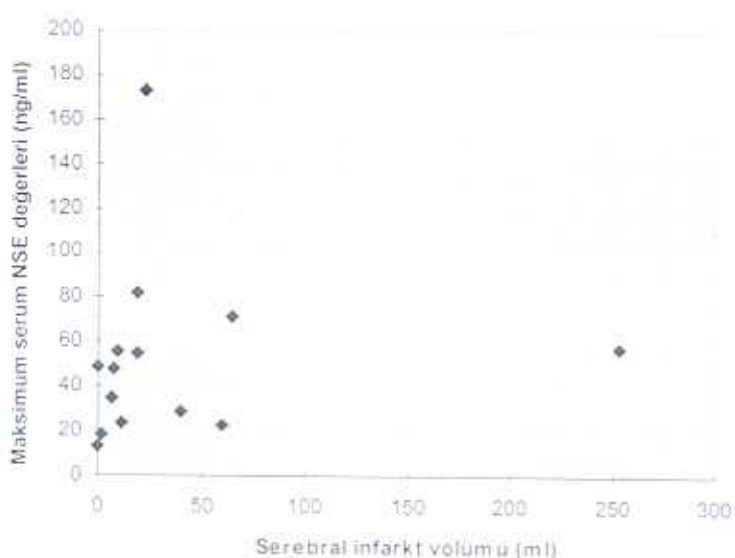
(BT: Bilgisayarlı Tomografi, GKS: Glasgow Koma Skoru, NSE: Nöron Spesifik Enolaz, CK: Kreatin Kinaz, BI: Beyin Infarkti, ISH: Intracerebral Hemoraji, MI: Myokard Infarktüsü)



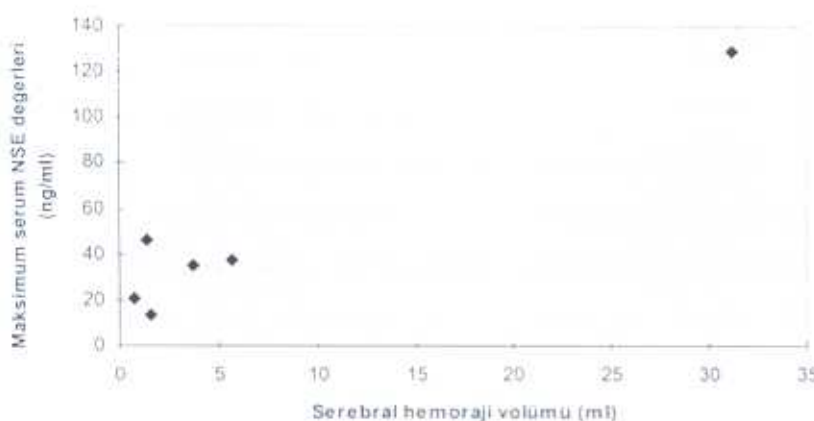
Şekil 1: Stroklu olgularda 48 saatteki serum NSE değerleri



Şekil 2: Stroklu olgularda 72. Saatteki serum NSE değerleri



Şekil 3: Serebral infarktlı 14 olguda maksimum serum NSE değerleri



Şekil 4: Serebral hemorajili 6 olguda maksimum serum NSE değerleri



Şekil 5: Myokard infarktüslü olgularda maksimum serum NSE değerleri

TARTIŞMA

BOS'da artmış NSE düzeyinin santral sinir sistemi hasarının bir belirleyicisi olduğu bildirilmiştir (6). Kardiyak arrest, kafa travması, geçici iskemik atak, iskemik ve hemorajik strok, status epileptikus, santral sinir sistemi tümörleri ve infeksiyon hastalıklarında BOS'ta artmış NSE değerleri saptanmıştır (7, 8). DeGiorgio ve ark., kompleks parsiyel status epileptikusda artmış NSE düzeylerinin nöronal hasarın bir göstergesi olduğunu ve statusun süreyle korelasyon gösterdiğini bildirmiştir (8). Hay ve ark (9), iki geçici iskemik atak ve 24 komplet strok

olgusunda infarkt volumü ile BOS NSE düzeyi arasında pozitif korelasyon saptamışlar ve aynı zamanda BOS'daki yüksek NSE düzeyinin kötü прогнозla ilişkili olduğunu bulmuşlardır. Yapılan bir başka çalışmada da benzer biçimde NSE ve lezyon volumü arasındaki ilişki gösterilmiş ve geniş infarktlı olgularda NSE'nin 4 günden daha fazla süreyle izlenmesi önerilerek NSE'nin akut strok tedavi çalışmalarında infarkt volumünün bir belirleyicisi olabileceği bildirilmiştir (10). Deneysel çalışmalarla hayvanlarda oluşturulan fokal iskemi sonucunda da NSE düzeyinin akut ve kronik serebral hasarın

derecesini yansıttığı ileri sürülmüştür (11). Yine ratharda gerçekleştirilen deneysel iskemi ile infarktin boyutunun bilyüdükçe maksimum NSE düzeyinin de arttığı rapor edilmiştir (12).

Strok olgularında serum NSE düzeylerini araştıran çalışmalarдан başlıcaları Cunningham (13) ve Schaarschmidt' e aittir (14). NSE'nin serebral lezyonlara bağlı olarak serumda yükselmesi 3 ayrı zamanda olmaktadır. Birinci aşama, ilk gün birkaç saat içinde olandır. Bu, ilk serebral hasarı yansitar. Daha sıkılıkla bildirilen ikinci kısa dönem NSE artışı, 24 saatten 72. saatte kadar olan dönemde, nörolojik durumun bozulmasıyla beraberdir. Bazen 48 saatten birkaç güne kadar süren uzun süreli NSE artışı ise olasılıkla ödem'in yol açtığı sekonder hücre hasarının belirtleyicisidir. Araştırılan serebral infarkt ve intraserebral hemorajili olguların % 80'den fazlasında ikinci ve üçüncü dönem NSE artıları klinik bozulma ile paralel seyretmektedir. NSE bu durumda belki de bazı hastalarda güçlü antiödem tedavi gerekliliğinin biyokimyasal bir habercisi gibi davranmaktadır (13).

Schaarschmidt ve ark. (14), ilk 5 gündeki NSE kontrasyonlarının serebral hasarın yayılmasını yansıttığını ve прогнозla ilişkili olduğunu belirtmişlerdir. Çalışmalarında maksimum NSE düzeyi 120 ng/ml üzerinde olan olgularda прогноз ölümle ya da vejetatif durumla sonuçlanmıştır.

Bizim çalışmamızda NSE değerlerinin strok olgularında yüksek bulunması ve bu değerler ile lezyon volümü arasında anlamlı ilişki saptanması genel olarak literatür sonuçları ile benzer özelliktedir. İkinci dönem NSE artışı ile lezyon volümü arasındaki pozitif ilişki, Cunning,

ham'ın (13) çalışmasıyla uyum göstermiştir. Ancak çalışmamızda maksimum NSE değerlerinin прогнозu etkileyen bir belirleyici olmaması, Schaarschmidt ve ark.'nın (14) çalışma sonucıyla çelişen bir bulgudur. Örneğin 9 ve 10 numaralı iki olgumuzda maksimum NSE düzeyleri 48. saatte sırasıyla 172.7 ve 129.2 ng/ml saptandığı halde bu olgulardan geniş serebral infarktü olan olgu (no:9), Barthel skoru 35'ten 55'e yüksclerek taburec edilmiştir. Diğer ise (no:10), intraserebral hemoraji nedeniyle tedavi görüp Barthel skoru 55'ten 75'e yüksclerek taburec olmuştur. Kaybedilen 3 olguda ise (olgular no: 2, 14, 16), NSE düzeyleri sözü edilen olgulardan daha düşüktür (sırasıyla 71.6, 39.1, 55.06 ng/ml).

Kontrol grubu olarak komplike olmayan myokard infarktüslü olguların seçilmesinin nedeni, Schaarschmidt'in (14) düşüncesine benzer tarzda, bu olgularda da akut hücre ölümünün meydana gelmesi ve strok hastalarında olduğu gibi antiagregan ya da antikoagulan tedavi uygulanması gibi benzer fizyopatolojik ve tedavi süreçlerini paylaşması, daha da önemlisi santral sinir sistemi bozukluğunun görülmemesidir. Nöron Spesifik Enolaz ayrıca trombositlerde de saptanmıştır (11). Ancak, serebral dokuda olandan 30 kat daha azdır. Bu durumun, serebral iskemiyi takiben sistemik dolaşımı NSE salınmasından sorumlu olabileceği ileri sürülmüştür. Myokard infarktüsünde serum NSE düzeylerinin strokta olduğu kadar yüksek olmaması, non-nöronal hücre hasarını yansitar. Olguların NSE düzeylerinin normalden yüksek olması, ancak strok grubundan düşük

bulunması her iki çalışmanın ortak Özelliğidir. Sonuç olarak, strok olgularında tam ve tedavi programı günümüzdeki ileri teknolojik olanaklarla (BT, MRG) hızla yapılmaktadır. Bu nedenle NSE düzeyini lezyonun büyüklüğünü yansitan, uygun tedavi seçimine ve başlama zamanına önyak olan önemli bir belirleyici olarak sunmak, bugünkü koşullarda

abartılı olarak yorumlanabilir. Ancak serum ölçümü noninvasiv olduğu için radyolojik olarak saptanan lezyonun biyokimyasal boyutunu verebilecek değerde olduğu anlaşılsa, strok hastalarının monitorizasyonunda önem kazanabilir. Yine de rutin tetkikler içinde yer alabilmesi için daha geniş serilerle kapsamlı tartışmaların yapılması gerekmektedir.

KAYNAKLAR

- Prinz RA, Marangos PJ. Use of neuron specific enolase as a serum marker factor for neuroendocrine neoplasms. *Surgery* 1982; 92: 887-889.
- Persson LA, Hardemark HG, Gustafsson J, et al. S-100 protein and neuron specific enolase in cerebrospinal fluid and serum markers of cell damage in human central nervous system. *Stroke* 1987; 18: 911-18.
- Dauberschmidt R, Marangos PJ, Zinsmayer J, et al. Severe head trauma and changes of concentration of specific enolase in plasma and in cerebrospinal fluid. *Clinica Chimica Acta* 1983; 131: 161-170.
- Mukono K, Kato K, Kawai K, et al. Neuron specific enolase and S-100 protein levels in cerebrospinal fluid of patients with various neurological disease. *J Neurol Sci* 1983; 60: 443-451.
- Pasqualin A, Barone G, Cioffi F, et al. The relevance of anatomic and hemodynamic factor to a classification of cerebral arterio-venous malformation. *Neurosurgery* 1991; 28: 370-379.
- Royds JA, Jones D, Lewtas NA, et al. Enolase isoenzymes in the cerebrospinal fluid of patient with disease of central nervous system. *J Neurol Neurosurg Psychiatr* 1983; 46: 1031-1036.
- Freiman DM. Neuron specific enolase and status epilepticus-induced neuronal injury. *Epilepsia* 1996; 37: 595-597.
- DeGiorgio CM, Gott PS, Rabinowicz AI, et al. Neuron specific enolase, a marker of acute neuronal injury, is increased in complex partial status epilepticus. *Epilepsia* 1996; 37: 606-609.
- Hay E, Royds JA, Jones D, et al. Cerebrospinal fluid enolase in stroke. *J Neurol Neurosurg Psychiatr* 1984; 47: 724-729.
- Cunningham RT, Watt M, Winder J, et al. Serum neuron specific enolase as a indicator of stroke volume. *Eur J Clin Invest* 1996; 26 (4): 298-303.
- Barone FC, Clark RK, Price WJ, et al. Neuron specific enolase increases in cerebral and systemic circulation following focal ischemia. *Stroke* 1993; 23: 77-82.
- Hardemark HG, Persson L, Bolander HG, et al. Neuron specific enolase is a marker of cerebral ischemia and infarct size in rat cerebrospinal fluid. *Stroke* 1988; 19: 1140-1144.
- Cunningham RT, Young IS, Winders J, et al. Serum neuron-specific enolase (NSE) levels as an indicator of neuronal damage in patients with cerebral infarction. *Eur J Clin Invest* 1991; 21: 497-500.
- Schaarschmidt H, Prange HW, Reiber H. Neuron specific enolase concentration in blood as a prognostic parameter in cerebrovascular disease. *Stroke* 1994; 24: 558-565.